

Днепродзержинский государственный технический университет

КОНСТРУИРОВАНИЕ ФУНКЦИОНАЛОВ КАЧЕСТВА ДЛЯ СИСТЕМ УПРАВЛЕНИЯ С ПОКАЗАТЕЛЬНОЙ АКТИВАЦИОННОЙ ФУНКЦИЕЙ

Введение. Существующие системы управления электромеханическими объектами обеспечивают экспоненциально протекающие переходных процессов и гарантируют требуемый запас устойчивости [1]. Такой характер движения объекта управления в замкнутой системе объясняется в первую очередь линейностью используемых управляющих воздействий. Аналогичная ситуация наблюдается в системах разрывного управления, которые в скольльзящем режиме эквивалентны линейным с неограниченным коэффициентом усиления, а при срыве скольльзящего режима работают как разомкнутые с максимальным управляющим воздействием. За счет форсировки управляющего воздействия системы разрывного управления обладают высоким быстродействием и точностью. Однако процесс управления в таких системах сопровождается подачей на объект в каждый момент времени максимального управляющего воздействия, что не всегда является энергетически целесообразным и приводит к значительным энергетическим затратам. Поэтому, наряду с рассмотренными ранее системами в последнее время появились разработки, позволяющие форсировать протекание переходных процессов без повышения энергии управления в установившихся режимах. В первую очередь к таким разработкам следует отнести системы управления, реализующие скольльзящие режимы высоких порядков [2], которые возникают при использовании иррациональных активационных функций и реализуются управлениями вида

$$U = -|S|^{\alpha} \text{sign}(S), \quad (1)$$

где S – линия равновесного состояния регулятора; α – показатель степени, $\alpha \in [0,1]$.

Выполненные ранее исследования [3] показали, что существенное влияние на быстродействие систем с управлениями (1) оказывает показатель степени α , с уменьшением которого повышается не только быстродействие, но и колебательность системы. Это позволяет форсировать систему при пуске, однако негативно сказывается на установившемся режиме.

Данный факт позволил сформулировать гипотезу об изменении показателя степени α в процессе движения системы управления, в соответствии с которой замкнутая система при больших рассогласованиях работает как релейная с $\alpha = 0$, а по мере снижения ошибки управления увеличивается показатель α , что устраняет автоколебания и существенно ограничивает энергию управления. Таким образом в установившемся режиме система может работать в соответствии с линейным алгоритмом управления, обеспечивая минимальное энергопотребление, а при возрастании отклонения управляемой величины от заданного значения автоматически снижается показатель α и за счет повышенного энергопотребления происходит форсированный переход в новую точку фазового пространства. Таким образом, за счет плавного изменения активационной функции организуется система оптимального управления с переменной структурой.

Проверке данной гипотезы в настоящее время препятствует отсутствие функционалов качества, минимизация которых осуществляется управляющим воздействием вида

$$U = -f_1(S)^{f_2(S)}. \quad (2)$$

Управление (2) является сложной функцией от S и определение интегральных функционалов качества, которые оно минимизирует на траекториях управляемого движения, является достаточно сложной задачей. Поэтому прежде чем переходить к решению этой задачи, целесообразно рассмотреть определение целей управления, достижение которых обеспечивают управляющие воздействия с показательной активационной функцией

$$U = -C^{|f_2(S)|} \text{sign}(S), \quad (4)$$

где C – отличная от 0 и ± 1 константа, которая определяет амплитуду управляющего воздействия.

Постановка задач исследования. Целью настоящей работы является определение интегрального функционала качества, минимизация которого осуществляется оптимальным управлением (4).

Результаты исследования.

Искомый функционал качества представим в виде интеграла двух слагаемых, первое из которых $F(S)$ определяет асимптотичность траекторий движения системы управления, а второе $G(U)$ – расход энергии управления

$$I = \int_0^{\infty} [F(S) + G(U)] dt. \quad (5)$$

Для определения слагаемых функционала (5) в соответствии с [4] запишем сопряженные функции

$$f(S) = -g^{-1}(U) = C^{|f_2(S)|} \text{sign}(S); \quad (6)$$

$$g(U) = -f^{-1}(S) = \log_C |U| \text{sign}(U).$$

Расход энергии на управление $G(U)$ может быть найден путем интегрирования последнего выражения системы (6) по управляющему воздействию

$$\begin{aligned} G(U) &= \int g(U) dU = \int \log_C |U| \text{sign}(U) dU = \frac{1}{\ln C} \int \ln |U| \text{sign}(U) dU = \\ &= \frac{1}{\ln C} |U| (\ln |U| - 1) = C_1 |U| \ln |U| - C_1 |U|, \end{aligned} \quad (7)$$

где $C_1 = \frac{1}{\ln C}$.

Графическое представление функций $g(U)$ и $G(U)$ для случая $C = 2$ приведено на рис.1.

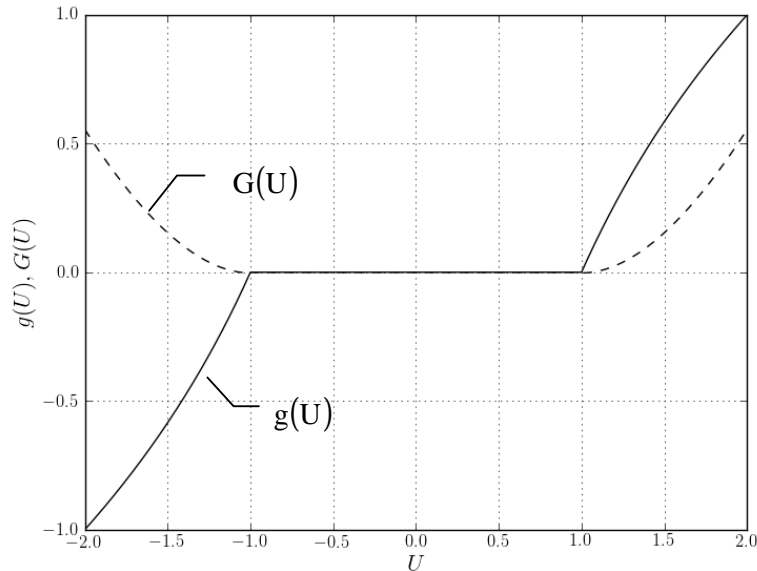


Рис.1 Внешний вид функций $g(U)$ и $G(U)$.

Анализ выражения (7) и графиков, приведенных на рис.1, показывает, что функция $G(U)$ является знакопостоянной функцией, имеющей экстремум, соответственно интеграл от нее

$$I_U = \int_0^{\infty} G(U) dt \quad (8)$$

имеет экстремали и может использоваться при построении оптимальных систем.

Перейдем теперь к рассмотрению составляющей $F(S)$ функционала (5). Эта составляющая в самом общем случае определяется выражением [4]

$$F(S) = S \cdot f(S) - \int S \frac{\partial f(S)}{\partial S} dS, \quad (9)$$

которое с учетом функции (6) примет вид

$$\begin{aligned} F(S) &= S \cdot C^{|f_2(S)|} \text{sign}(S) - \int S \frac{\partial C^{|f_2(S)|}}{\partial |f_2(S)|} \frac{\partial f_2(S)}{\partial S} dS = \\ &= S \cdot C^{|f_2(S)|} \text{sign}(S) - \ln C \int S C^{|f_2(S)|} \text{sign}(S) \frac{\partial f_2(S)}{\partial S} dS. \end{aligned} \quad (10)$$

Вычисление интеграла, образующего второе слагаемое выражения (10) в общем виде при неопределенной функции $f_2(S)$ затруднено. Поэтому имеет смысл рассмотреть определение значения выражения (10) для ряда случаев при различных функциях $f_2(S)$.

1. Функция $f_2(S) = S$

В этом случае выражение (10) принимает вид

$$\begin{aligned} F(S) &= S \cdot C^{|S|} \text{sign}(S) - \ln C \int S C^{|S|} \text{sign}(S) \frac{\partial S}{\partial S} dS = \\ &= S \cdot C^{|S|} \text{sign}(S) - \ln C \int S C^{|S|} \text{sign}(S) dS = \\ &= |S| \cdot C^{|S|} - \ln C \int |S| C^{|S|} dS = |S| \cdot C^{|S|} - \ln C \frac{C^{|S|} (|S| \ln C - 1)}{(\ln C)^2} = \\ &= |S| \cdot C^{|S|} - \frac{\ln C |S| C^{|S|}}{\ln C} + \frac{C^{|S|}}{\ln C} = \frac{C^{|S|}}{\ln C} = C_1 C^{|S|}. \end{aligned} \quad (11)$$

Очевидно, что выражение $C_1 C^{|S|}$ имеет экстремум при $S = 0$.

Подстановка значений выражений (11) и (7) в функционал (5) позволяет получить следующий функционал качества

$$I = \int_0^{\infty} [C_1 C^{|U|} + (C_1 |U| \ln |U| - C_1 |U|)] dt = C_1 \int_0^{\infty} [C^{|U|} + (|U| \ln |U| - |U|)] dt, \quad (12)$$

который минимизируется оптимальным управлением

$$U = -C^{|S|} \text{sign}(S). \quad (13)$$

2. Функция $f_2(S) = \sqrt{|S|}$

Для этой функции первое слагаемое интегранта функционала (5) примет вид

$$F(S) = S \cdot C^{\sqrt{|S|}} \text{sign}(S) - \ln C \int S C^{\sqrt{|S|}} \text{sign}(S) \frac{\partial \sqrt{|S|}}{\partial S} dS = \quad (14)$$

$$\begin{aligned}
&= S \cdot C^{\sqrt{|S|}} \text{sign}(S) - \ln C \int \frac{|S| C^{\sqrt{|S|}}}{2\sqrt{|S|}} dS = |S| \cdot C^{\sqrt{|S|}} - \frac{\ln C}{2} \int \sqrt{|S|} C^{|S|} dS = \\
&= |S| \cdot C^{\sqrt{|S|}} - \ln C \frac{C^{\sqrt{|S|}} (|S| (\ln C)^2 - 2\sqrt{|S|} \ln C + 2)}{(\ln C)^3} = \\
&= |S| \cdot C^{\sqrt{|S|}} - \ln C \frac{|S| \cdot C^{\sqrt{|S|}} (\ln C)^2}{(\ln C)^3} + \ln C \frac{2\sqrt{|S|} \cdot C^{\sqrt{|S|}} \ln C}{(\ln C)^3} - \ln C \frac{2C^{\sqrt{|S|}}}{(\ln C)^3} = \\
&= \frac{2\sqrt{|S|} \cdot C^{\sqrt{|S|}}}{\ln C} - \frac{2C^{\sqrt{|S|}}}{(\ln C)^2} = 2 \frac{C^{\sqrt{|S|}}}{\ln C} \left(\sqrt{|S|} - \frac{1}{\ln C} \right) = 2C_1 C^{\sqrt{|S|}} (\sqrt{|S|} - C_1)
\end{aligned} \tag{14}$$

Подставив в функционал (5) значения выражений (14) и (7), получим следующий интегральный функционал

$$\begin{aligned}
I &= \int_0^{\infty} \left[2C_1 C^{\sqrt{|S|}} (\sqrt{|S|} - C_1) + (C_1 |U| \ln |U| - C_1 |U|) \right] dt = \\
&= C_1 \int_0^{\infty} \left[2C^{\sqrt{|S|}} (\sqrt{|S|} - C_1) + (|U| \ln |U| - |U|) \right] dt,
\end{aligned} \tag{15}$$

который минимизируется оптимальным управлением

$$U = -C^{\sqrt{|S|}} \text{sign}(S). \tag{16}$$

В рассмотренных примерах интеграл, образующий второе слагаемое выражения (10), определялся через элементарные функции. Однако в ряде случаев найти значение этого интеграла в классе элементарных функций не представляется возможным.

Проиллюстрируем это следующими примерами.

3. Функция $f_2(S) = \frac{1}{|S|}$.

Для гиперболической функции первое слагаемое интегранта функционала (5) примет вид

$$\begin{aligned}
F(S) &= S \cdot C^{1/|S|} \text{sign}(S) - \ln C \int S C^{1/|S|} \text{sign}(S) \frac{\partial(1/|S|)}{\partial S} dS = \\
&= |S| \cdot C^{1/|S|} + \ln C \int |S| \frac{C^{1/|S|}}{|S|^2} dS = |S| \cdot C^{1/|S|} + \ln C \int \frac{C^{1/|S|}}{|S|} dS.
\end{aligned} \tag{17}$$

Найти значение интеграла, образующего второе слагаемое выражения (17), в элементарных функциях невозможно, однако значение $F(S)$ может быть определено через экспоненциальный интеграл [5]

$$Ei(a, z) = \int_1^{\infty} e^{-kz} k^{-a} dk \tag{18}$$

следующим образом:

$$F(S) = |S| \cdot C^{1/|S|} + \ln C \cdot Ei\left(1, -\frac{\ln C}{|S|}\right) = |S| \cdot C^{1/|S|} + \frac{1}{C_1} Ei\left(1, -\frac{1}{C_1 |S|}\right). \tag{19}$$

Тогда с учетом выражений (19) и (7) искомый функционал примет вид

$$I = \int_0^{\infty} \left[|S| \cdot C^{1/|S|} + \frac{1}{C_1} \text{Ei} \left(1, -\frac{1}{C_1|S|} \right) + (C_1|U| \ln|U| - C_1|U|) \right] dt. \quad (20)$$

Функционал (20) минимизируется оптимальным управлением

$$U = -C^{1/|S|} \text{sign}(S). \quad (21)$$

4. Функция $f_2(S) = |S|^\alpha$

Найдем функционал качества, который минимизируется оптимальным управлением

$$U = -C^{|S|^\alpha} \text{sign}(S), \alpha \neq 0. \quad (22)$$

Использование при вычислении второго слагаемого выражения (10) верхней неполной гамма-функции [5]

$$\Gamma(s, x) = \int_x^{\infty} t^{s-1} e^{-t} dt, \quad (23)$$

которая связана с интегралом (18) соотношением

$$\text{Ei}(a, z) = z^{a-1} \Gamma(1-a, z) \quad (24)$$

позволяет обобщить полученные результаты на случай произвольного показателя степени α функции

$$f_2(S) = |S|^\alpha. \quad (25)$$

Тогда выражение (10) примет вид

$$\begin{aligned} F(S) &= S \cdot C^{|S|^\alpha} \text{sign}(S) - \ln C \int S C^{|S|^\alpha} \text{sign}(S) \frac{\partial |S|^\alpha}{\partial S} dS = \\ &= |S| \cdot C^{|S|^\alpha} - \alpha \ln C \int |S| C^{|S|^\alpha} |S|^{\alpha-1} dS = |S| \cdot C^{1/|S|} - \alpha \ln C \int C^{|S|^\alpha} |S|^\alpha dS = \\ &= |S| \cdot C^{|S|^\alpha} + \alpha \ln^{(\alpha-1)/\alpha} C \frac{\Gamma\left(\frac{\alpha+1}{\alpha}, -\ln C |S|^\alpha\right)}{\alpha^{\sqrt{-\alpha}}}. \end{aligned} \quad (26)$$

Подставив выражения (26) и (7) в функционал (5), получим

$$I = \int_0^{\infty} \left[|S| \cdot C^{|S|^\alpha} + \alpha \ln^{(\alpha-1)/\alpha} C \frac{\Gamma\left(\frac{\alpha+1}{\alpha}, -\ln C |S|^\alpha\right)}{\alpha^{\sqrt{-\alpha}}} + (C_1|U| \ln|U| - C_1|U|) \right] dt. \quad (27)$$

Дальнейшее усложнение функции $f_2(S)$, в частности переход к аддитивным формам

$$f_2(S) = \sum_{i=1}^m w_i f_i(S), \quad (28)$$

где m - число слагаемых функции $f_2(S)$, приводит к необходимости использования и других неэлементарных функций.

В частности использование функции ошибок [5]

$$\text{erf}(x) = \frac{2}{\sqrt{\pi}} \int_0^x e^{-t^2} dt \quad (29)$$

позволило определить функционал, который минимизируется управлением

$$U = -C^{w_1 \sqrt{|S|} + w_2 |S|} \text{sign}(S), \quad (30)$$

однако вследствие громоздкости полученного интеграла он здесь не приводится.

Выводы. Приведенные математические выкладки позволяют сделать вывод о том, что функционалы качества, которые минимизируются оптимальными управлениями с показательной активационной функцией, состоят из двух слагаемых, определяющих динамику объекта управления и энергию управления, необходимую для осуществления движения объекта по заданным траекториям возмущенного движения.

Необходимо отметить, что составляющая $G(U)$, которая учитывает расход энергии управления, однозначно зависит от управляющего воздействия и при $|U| \leq 1$ имеет экстремум, наличие которого позволяет математически обосновать возможность снижения затрат энергии управления в оптимальных системах, реализующих управляющие воздействия (4).

Составляющая $F(S)$ функционала качества, определяющая траекторию возмущенного движения объекта управления, в простейших случаях может быть выражена через элементарные функции, причем в этом случае по ее виду может быть определен класс оптимального управления. В более сложных случаях эта составляющая не может быть определена среди элементарных функций и выражается через ряд неэлементарных функций. Использование некоторых из них позволяет значительно расширить класс минимизируемых функционалов, а значит и увеличить область используемых управляющих воздействий.

Сложность приведенного математического аппарата создает предпосылки к использованию в инженерных расчетах численных методов для определения составляющих функционала (5) и алгоритмов оптимального управления (4).

Литература

1. Садовой А.В. и др. Системы оптимального управления прецизионными электроприводами/ Садовой А.В., Сухинин Б.В., Сохина Ю.В. - К.: ИСИМО, 1996. – 298с.

2. Емельянов С.В., Коровин С.К. Новые типы обратной связи: Управление при неопределенности. — М.: Наука. Физматлит, 1997, 352 с.

3. Волянский Р.С. Синтез оптимальной системы управления с иррациональной активационной функцией/ Р.С.Волянский, А.В.Садовой // Вестник НТУ «ХПИ» «Проблемы автоматизированного электропривода» (Теория и практика) вып.28. – 2010.- с.49-51

4. Волянский Р.С. Решение обратной задачи аналитического конструирования регуляторов для электромеханической системы с обобщенной активационной функцией/ Р.С.Волянский, К.А Калюжный // Сборник докладов научной конференции Достижение молодых ученых в развитии инновационных процессов в экономике, науке и образовании» .ч.1 . Брянск: изд-во БГТУ, 2011.- С.139-140.

5. Ямке Е. и др. Специальные функции. Формулы, графики, таблицы/ Ямке Е., Эмде Ф., Леш Ф.-М.:Наука, 1964.-344с.

Материал является препринтом статьи, опубликованной в Сборнике научных трудов Днепропетровского государственного технического университета. Выпуск 2(17). Днепропетровск, 2011